

Fig. 1

FIG. 1-50000000

2/18
E. SUDER ET AL.
16312-P001US

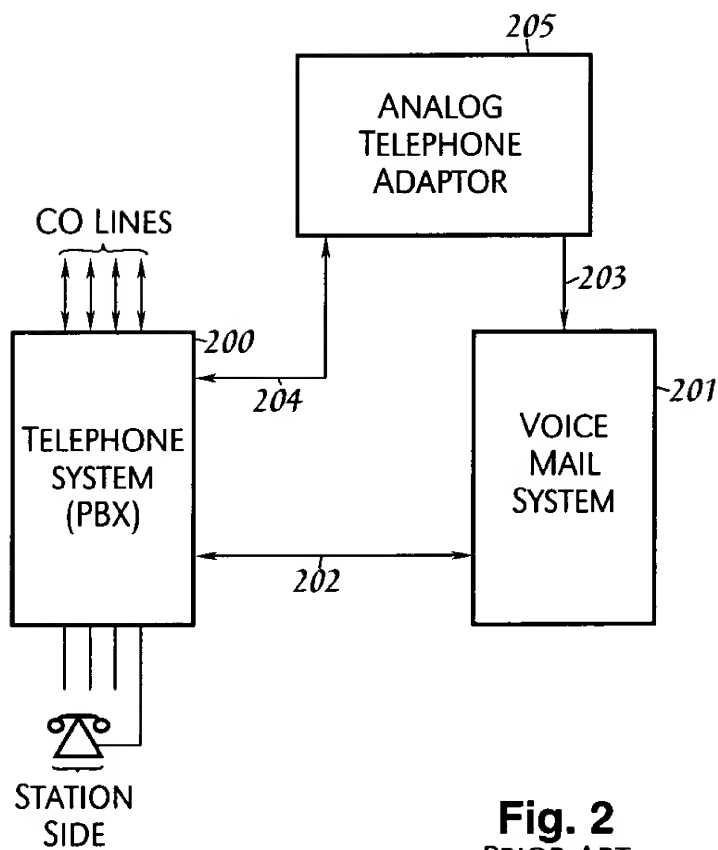


Fig. 2
PRIOR ART

3/18
E. SUDER ET AL.
16312-P001US

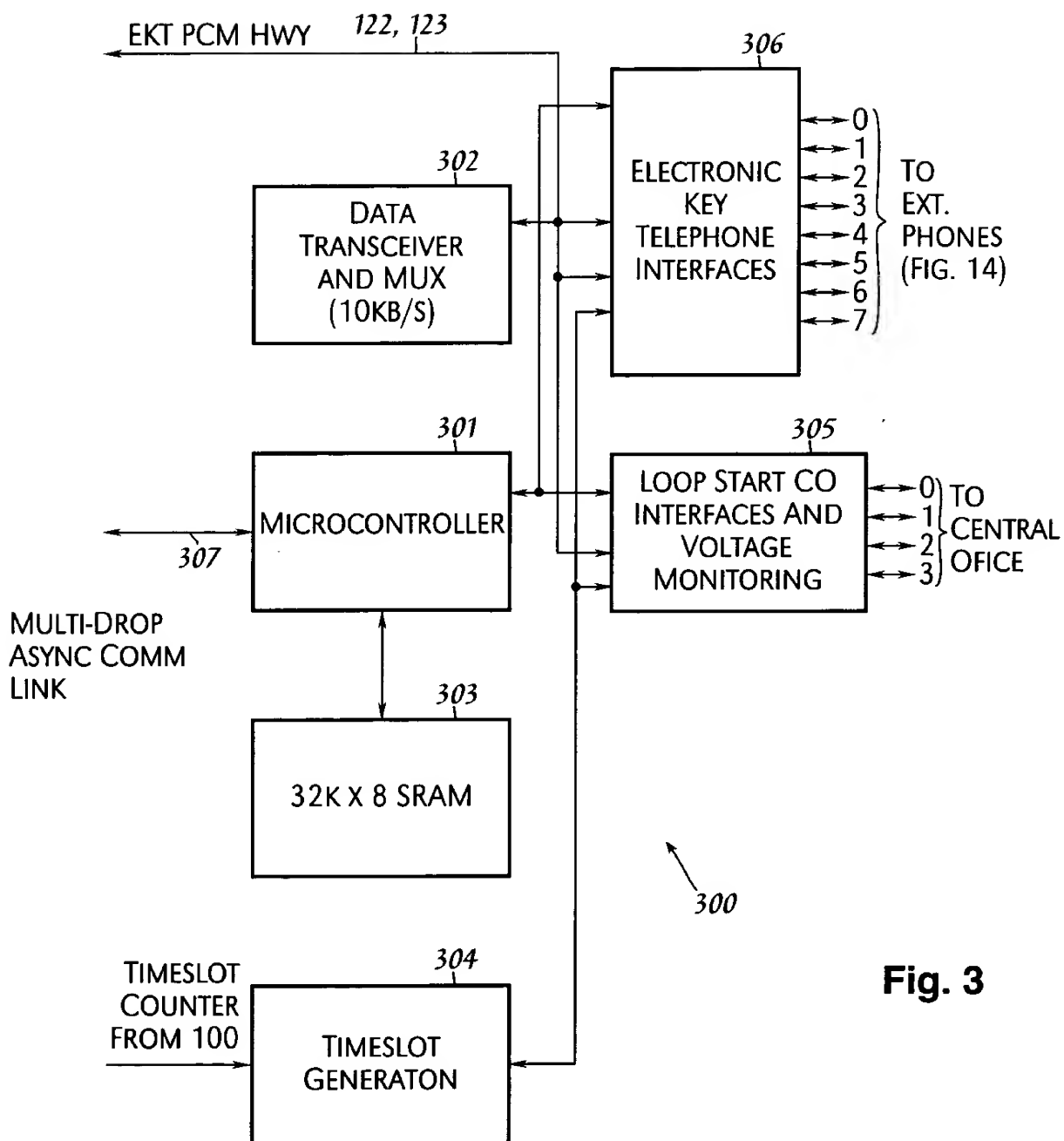
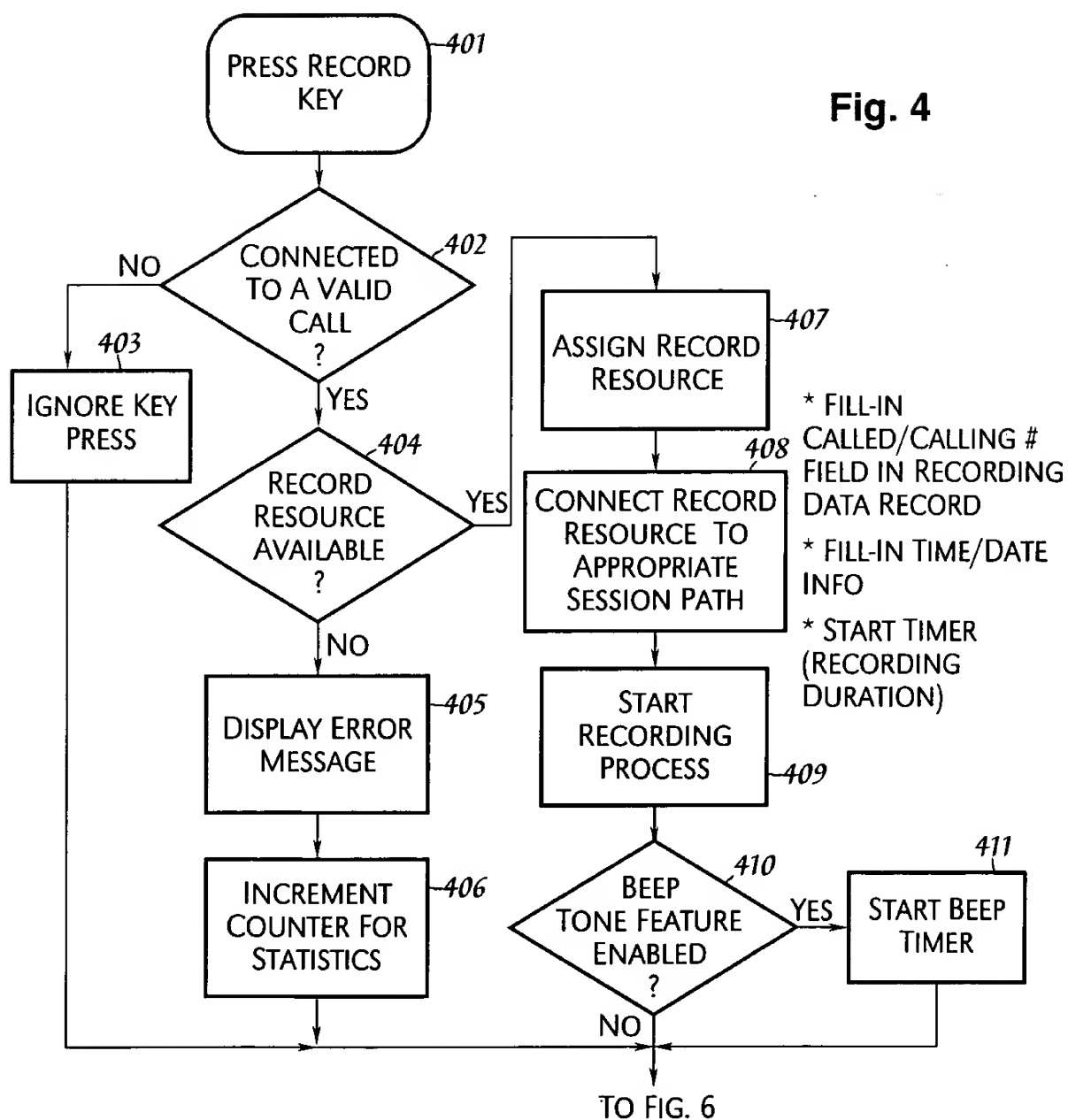


Fig. 3

Fig. 4



5/18

5/18
E. SUDER ET AL.
16312-P001US

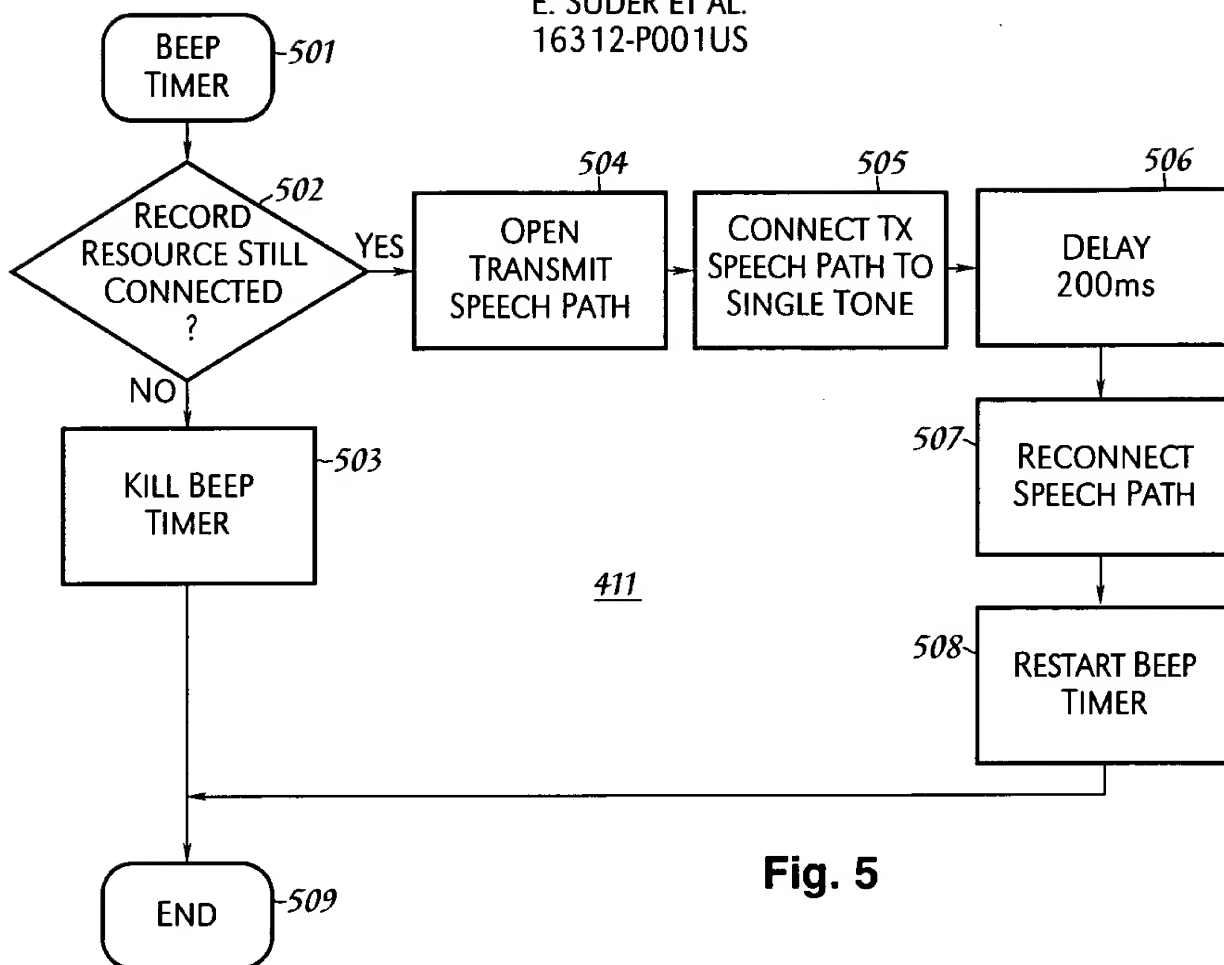


Fig. 5

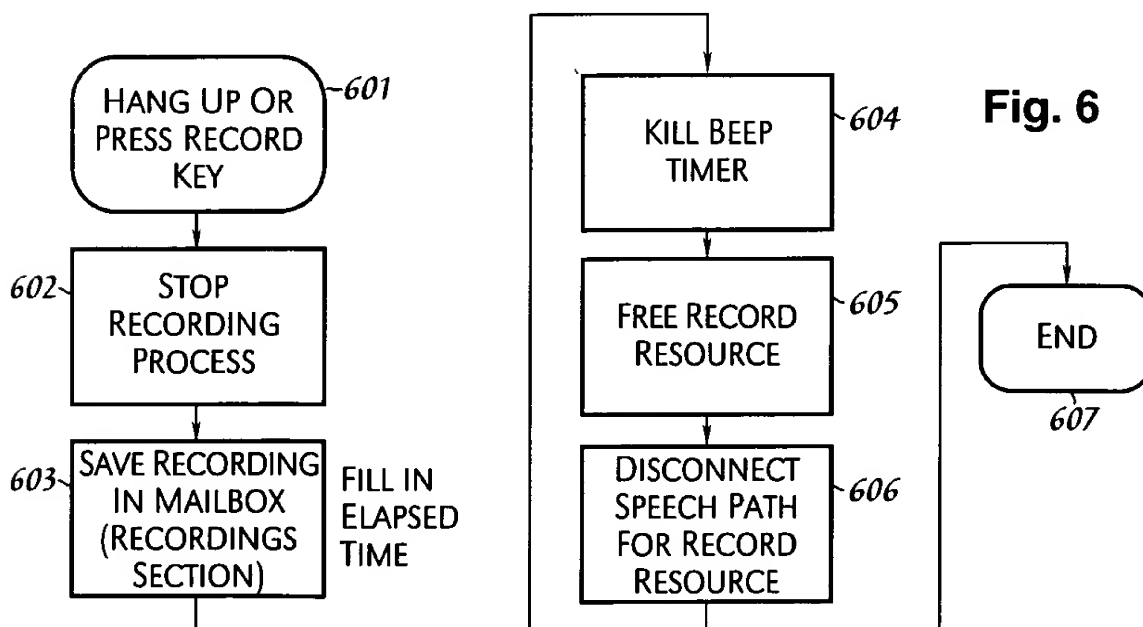


Fig. 6

6818

6/18
E. SUDER ET AL.
16312-P001US

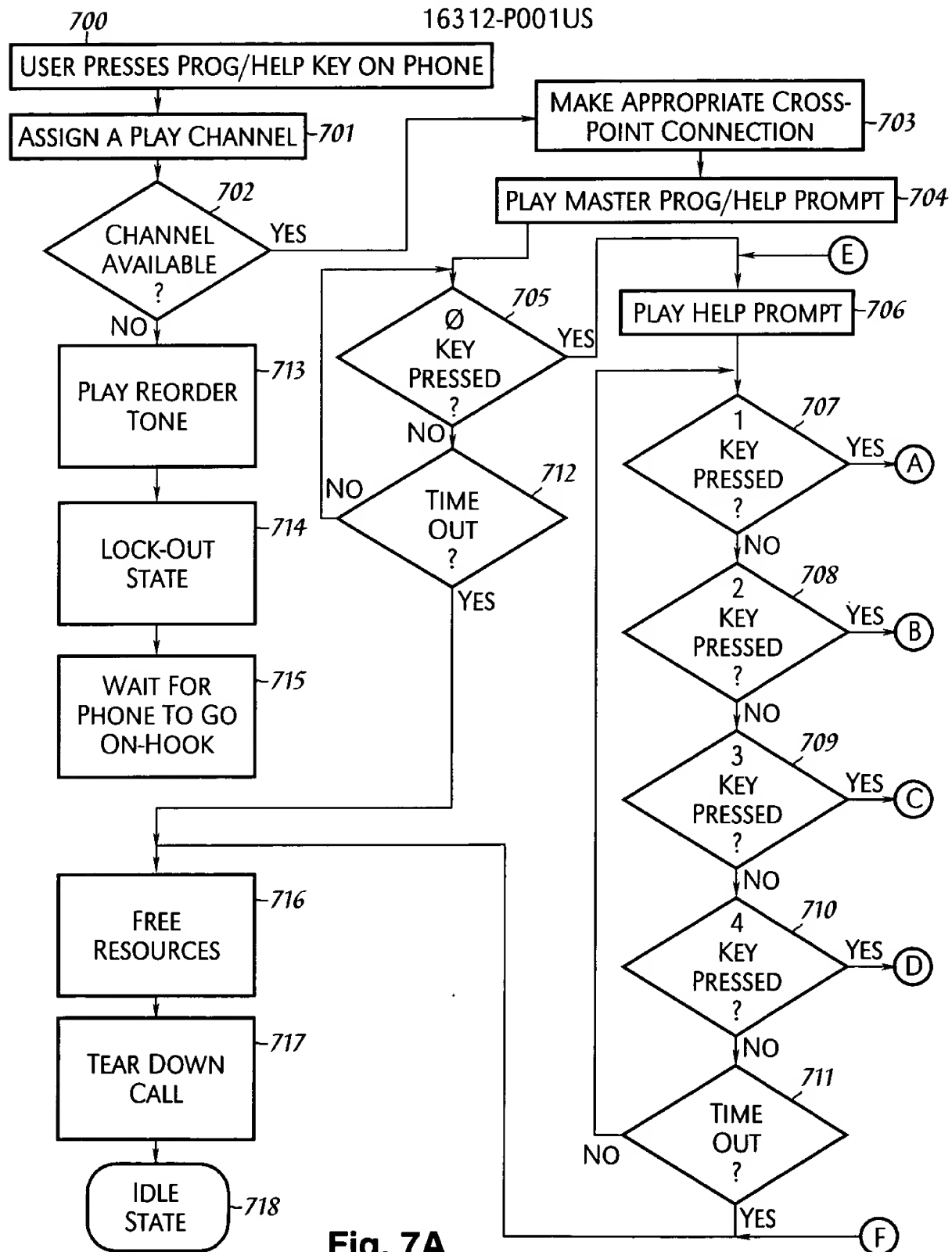


Fig. 7A

7818

7/18
E. SUDER ET AL.
16312-P001US

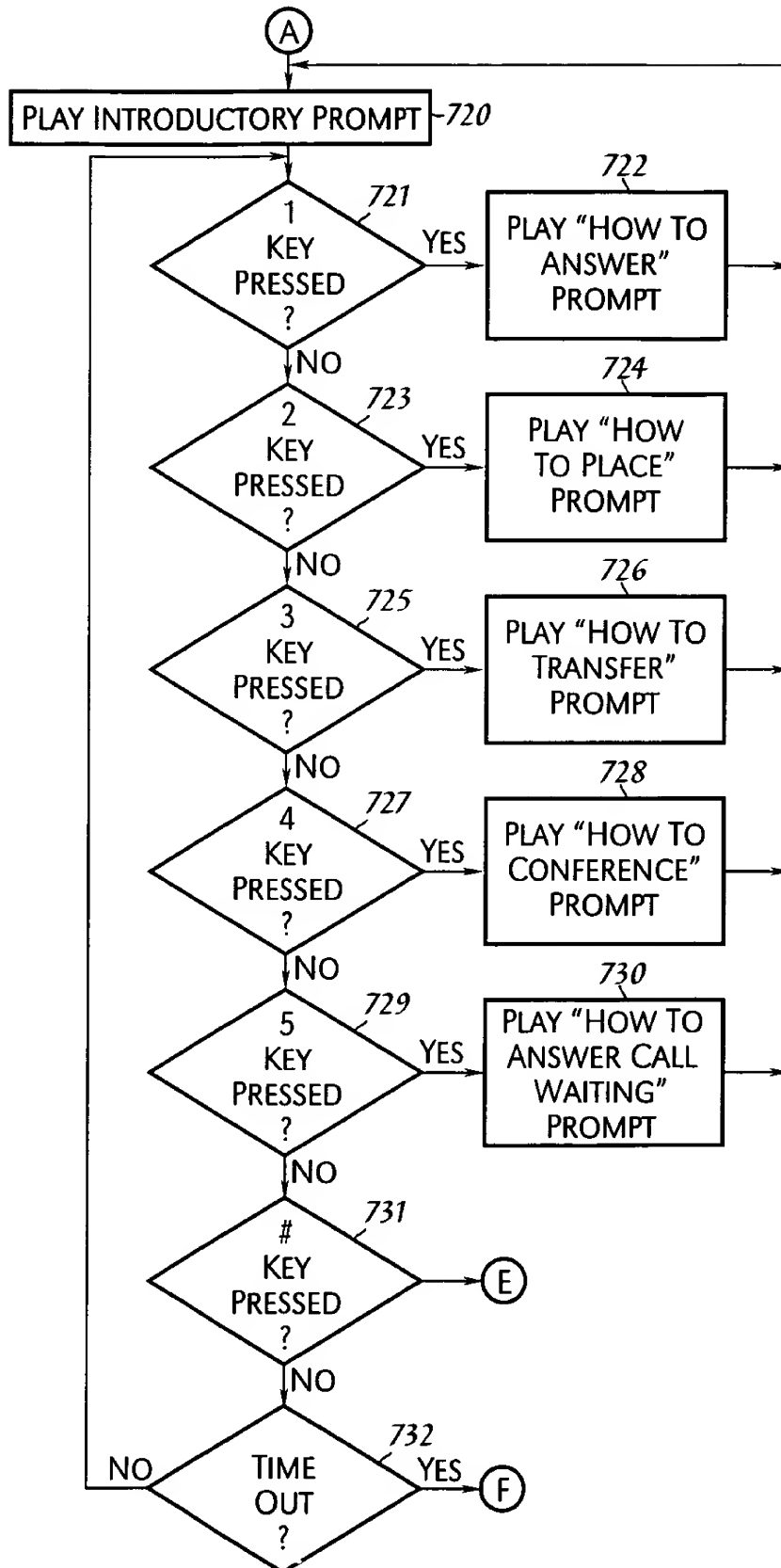


Fig. 7B

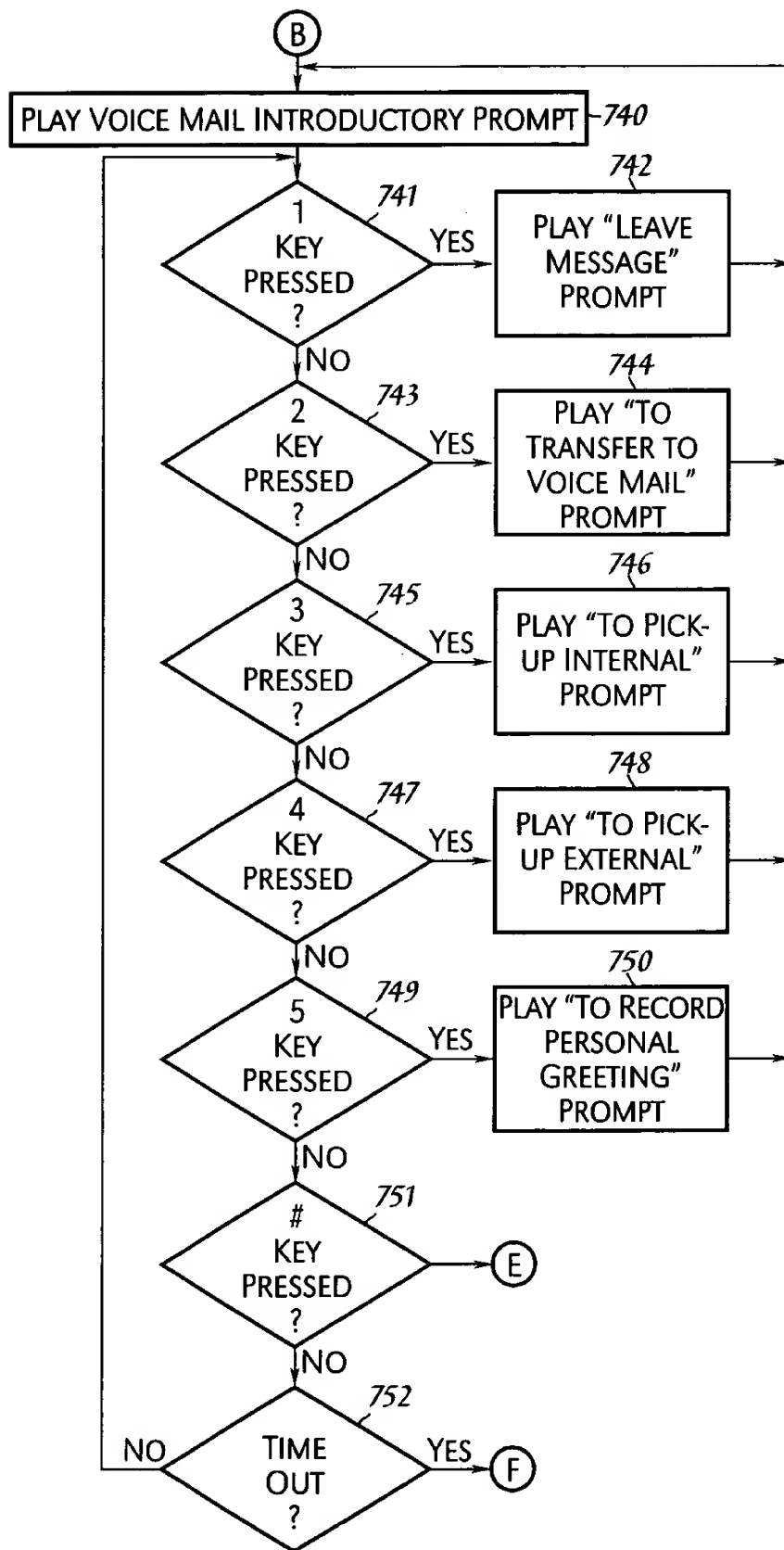


Fig. 7C

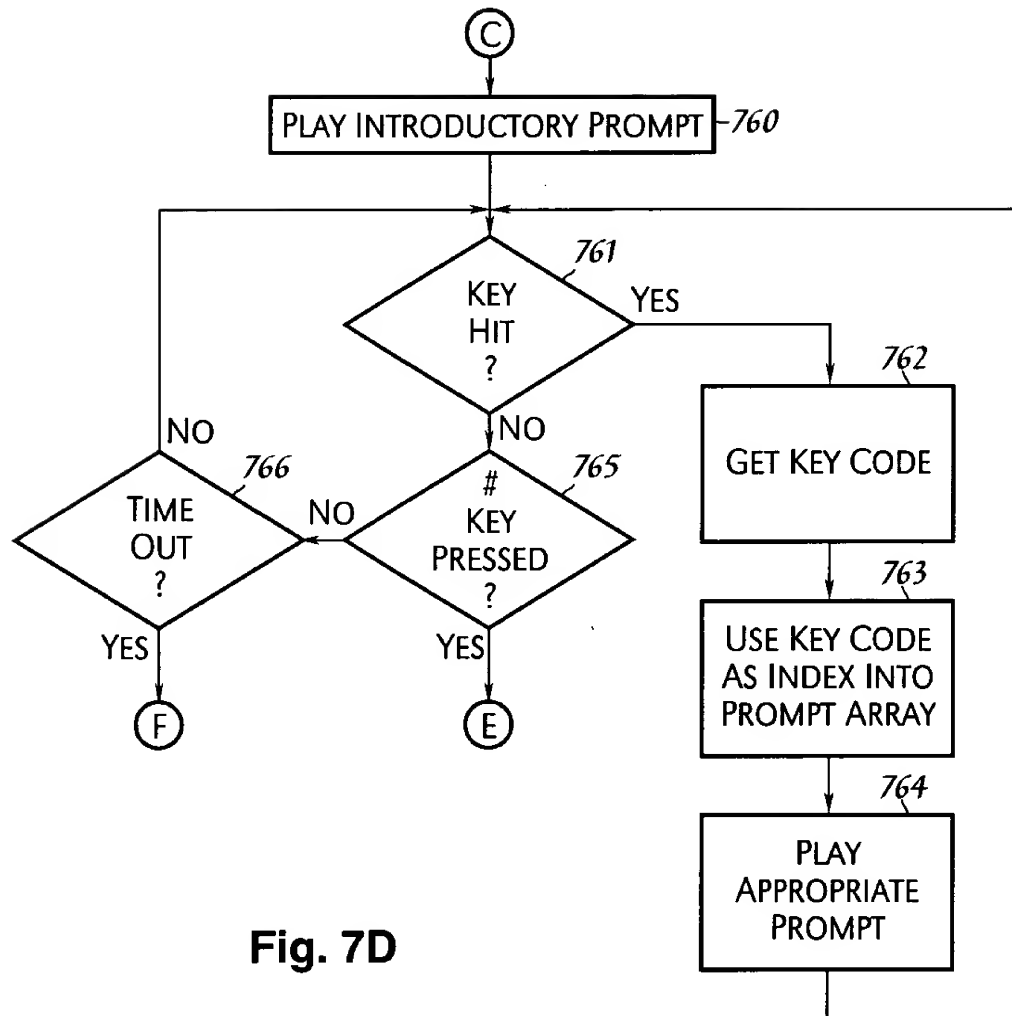


Fig. 7D

10/18
E. SUDER ET AL.
16312-P001US

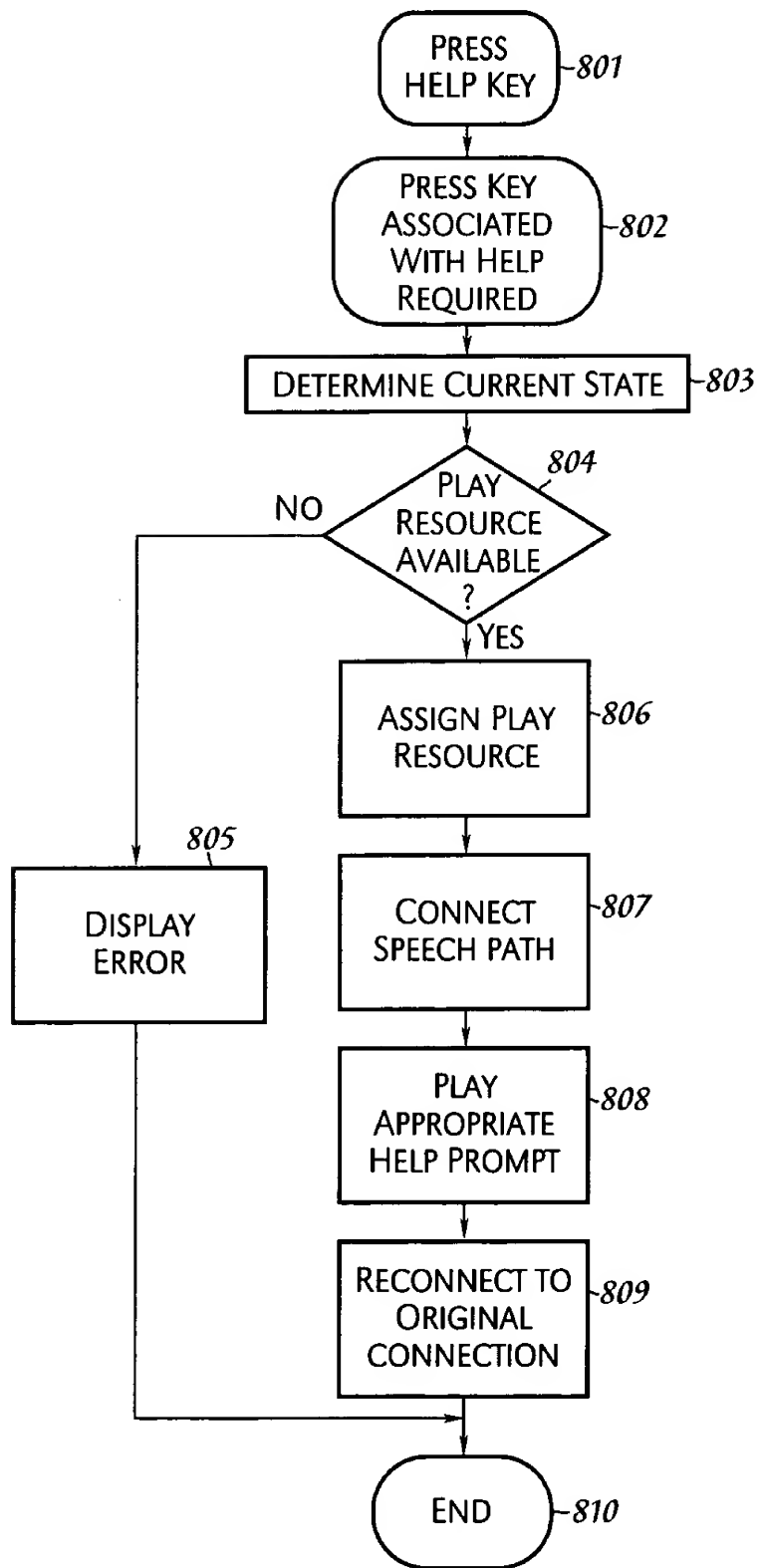


Fig. 8

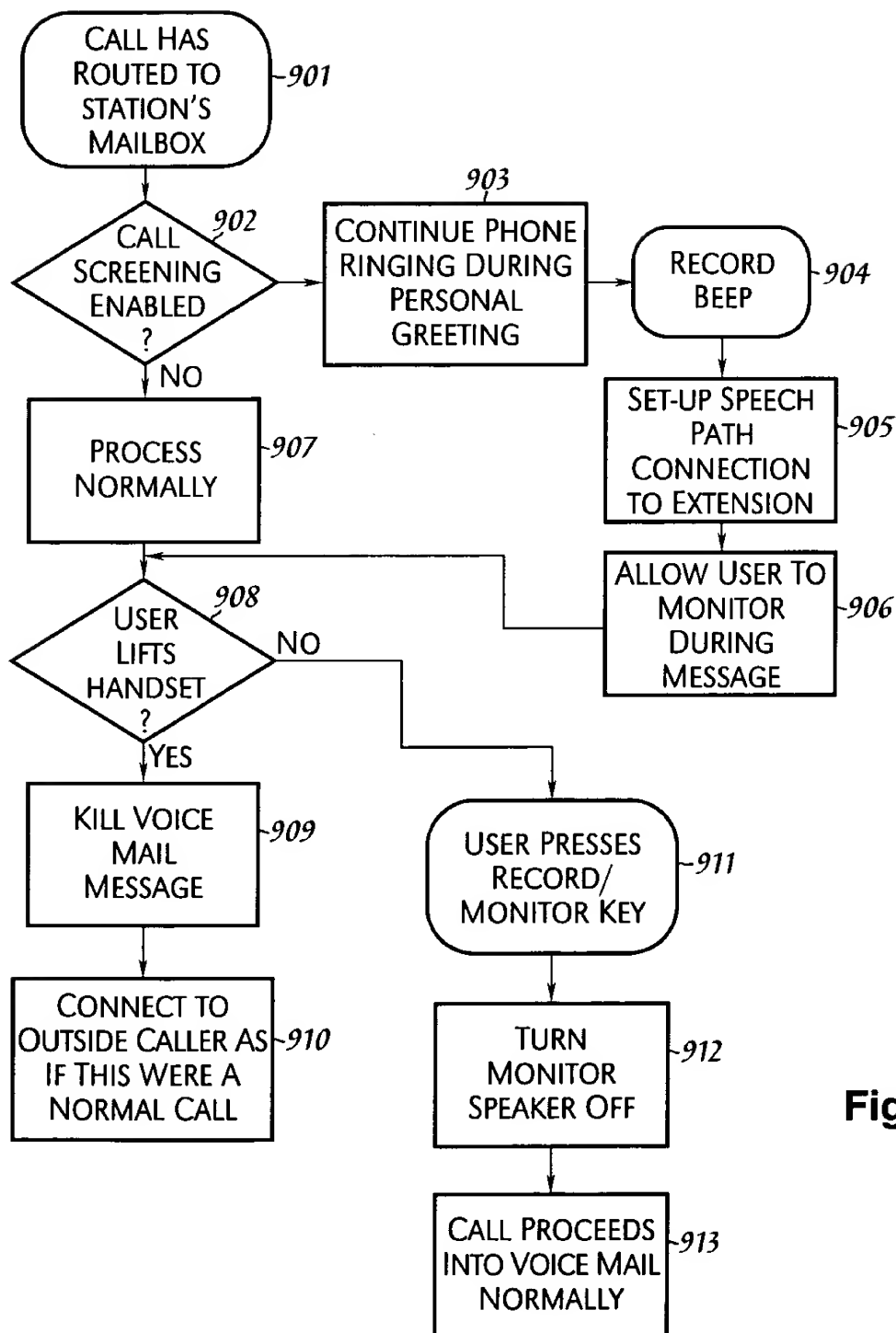


Fig. 9

12/18

12/18
E. SUDER ET AL.
16312-P001US

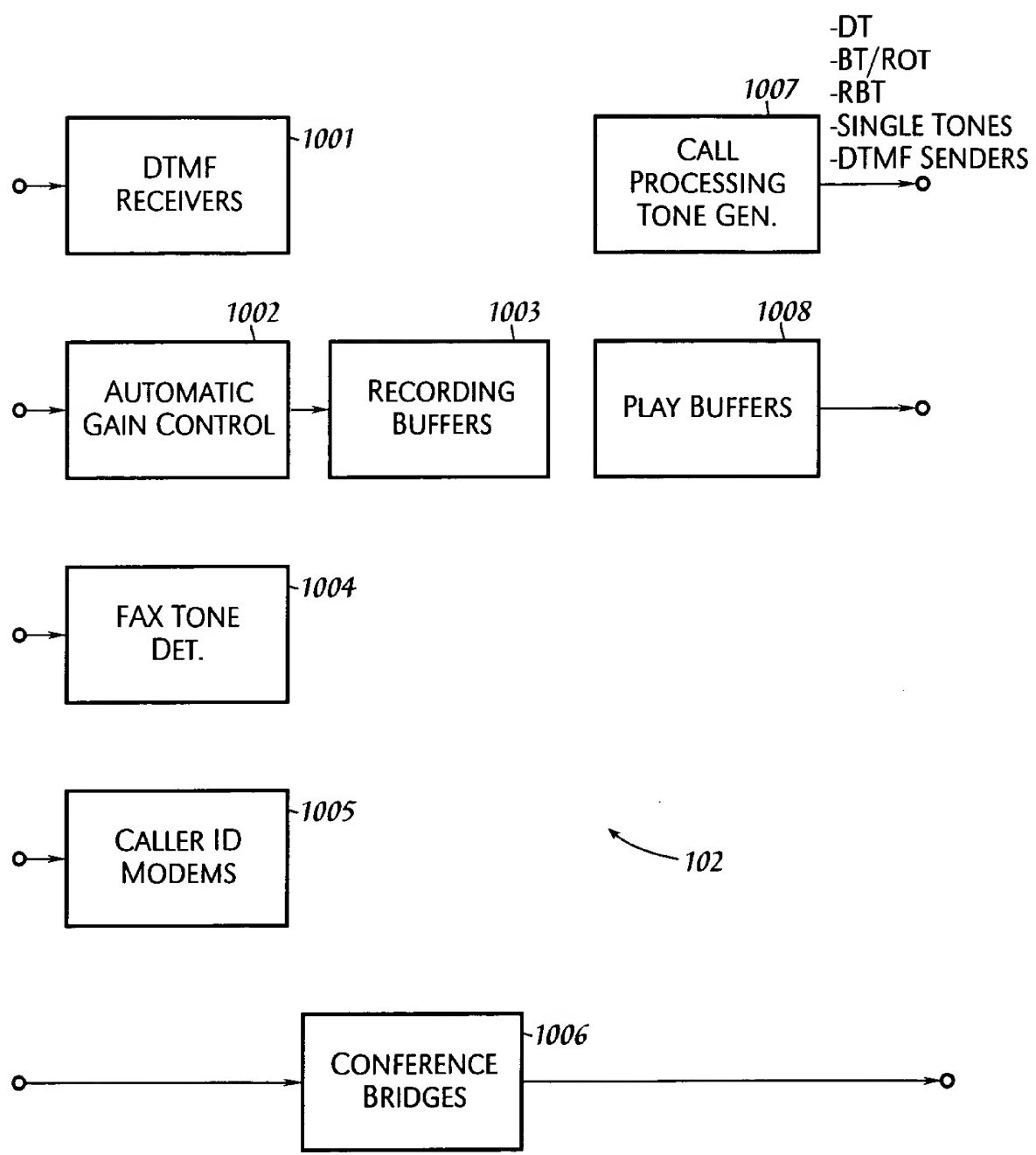


Fig. 10

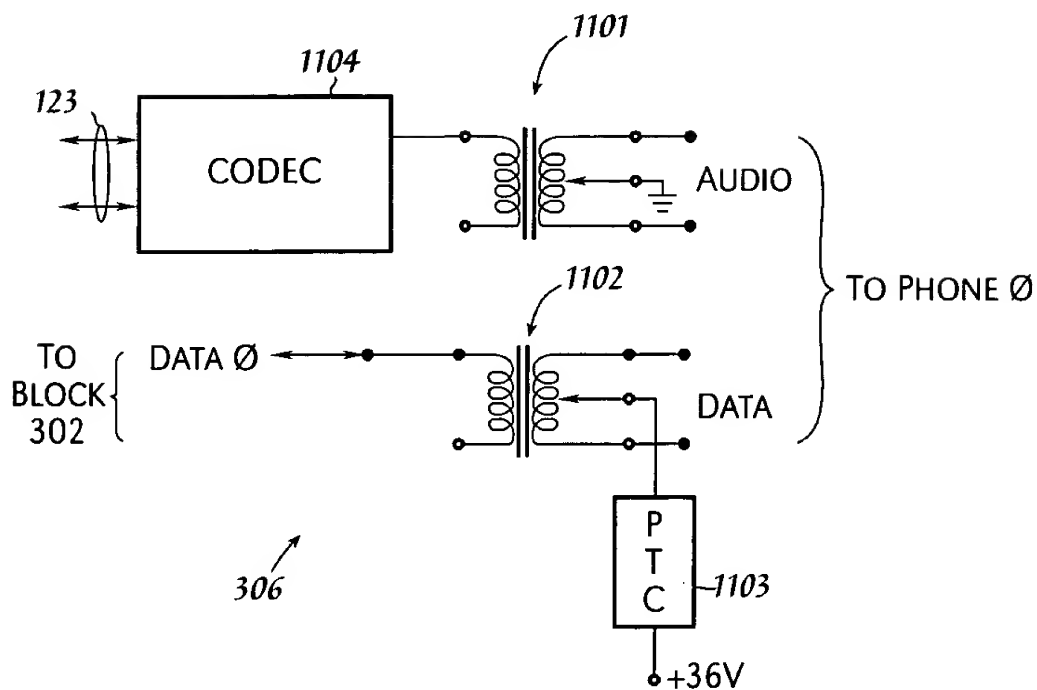


Fig. 11

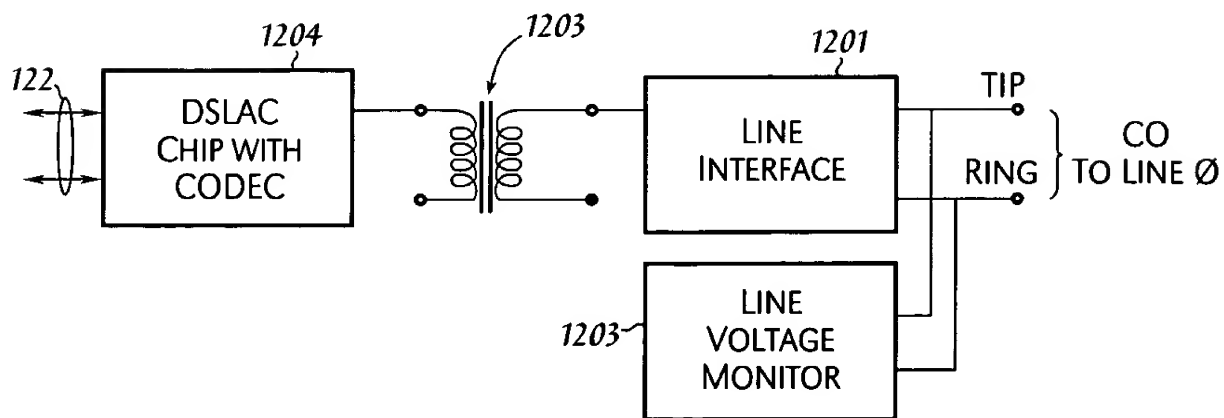
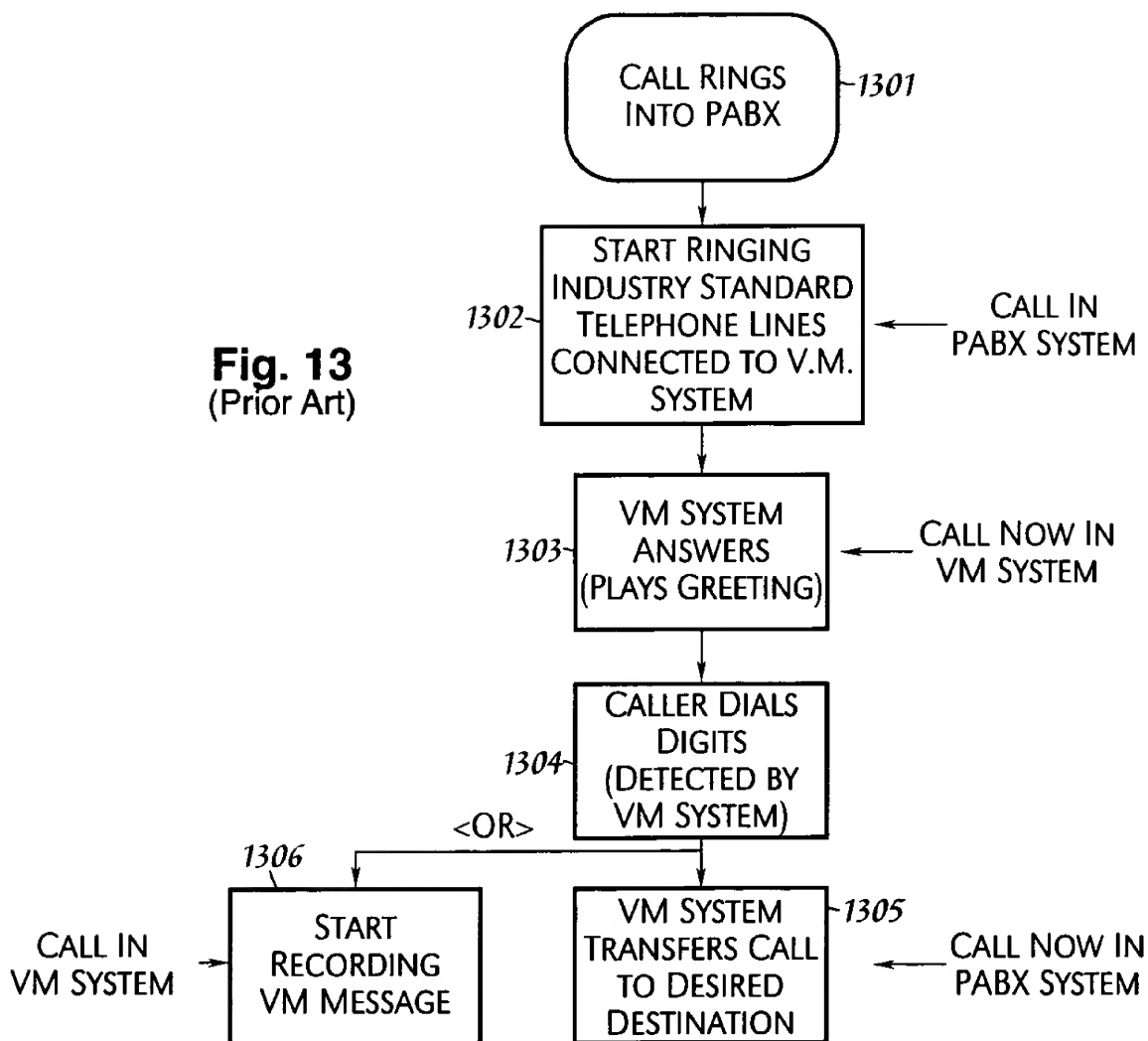


Fig. 12

Fig. 13
(Prior Art)



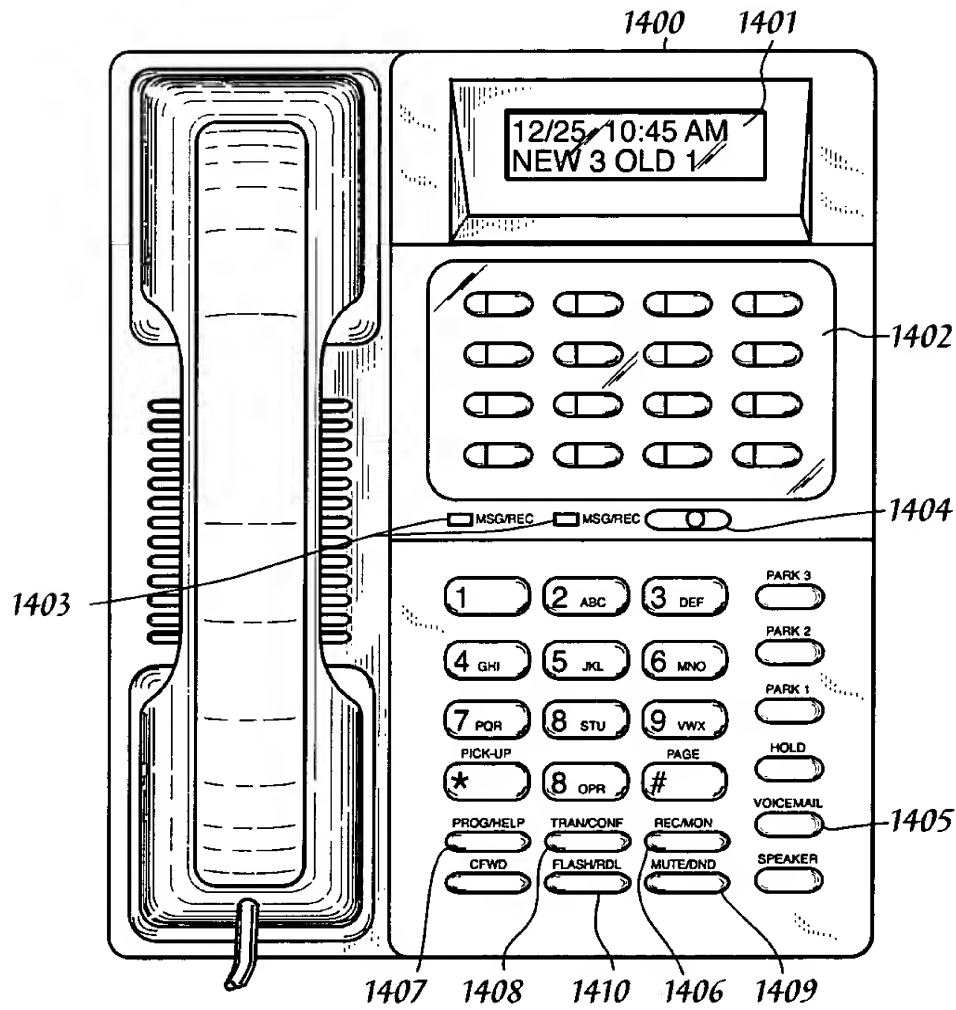


Fig. 14

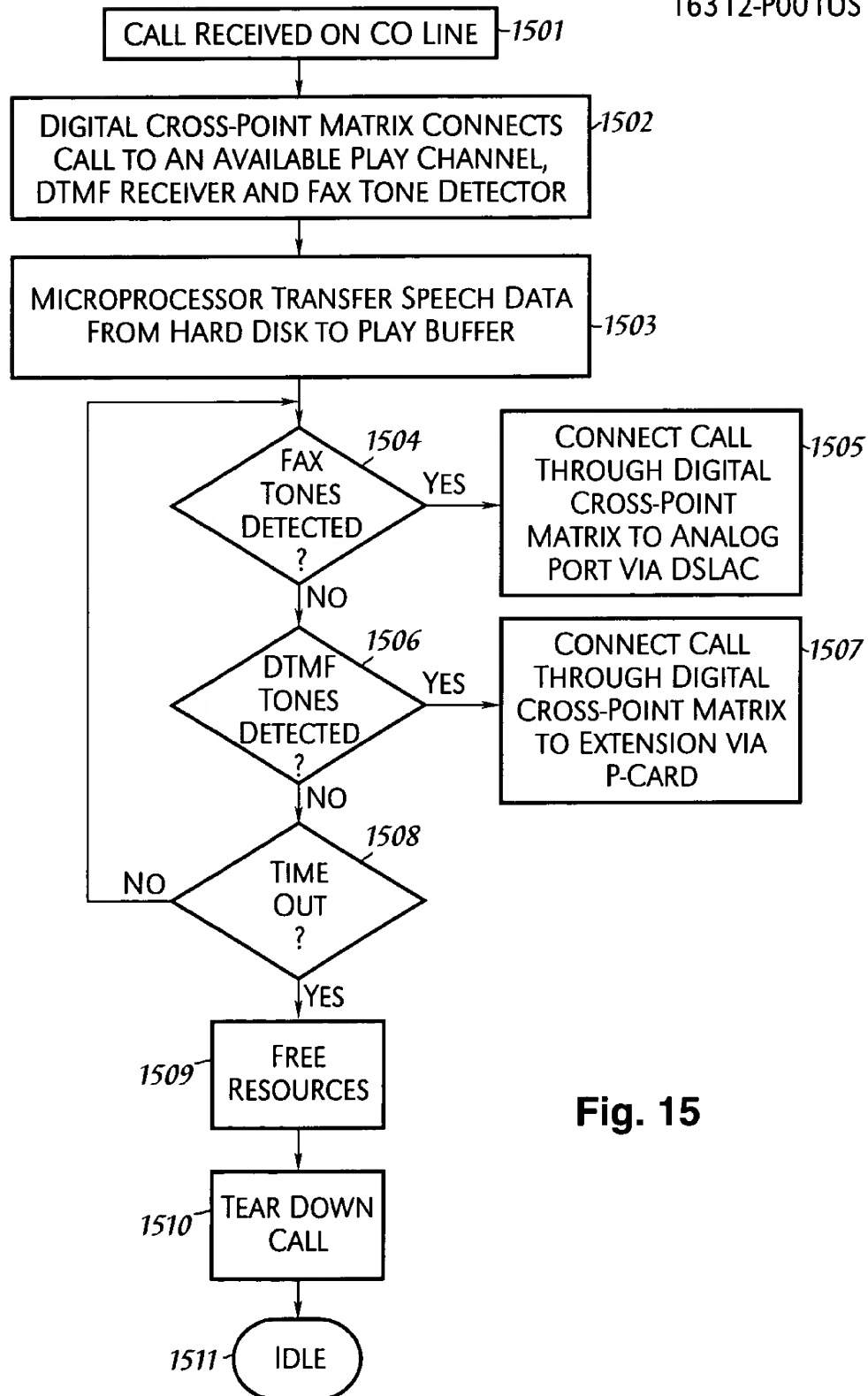
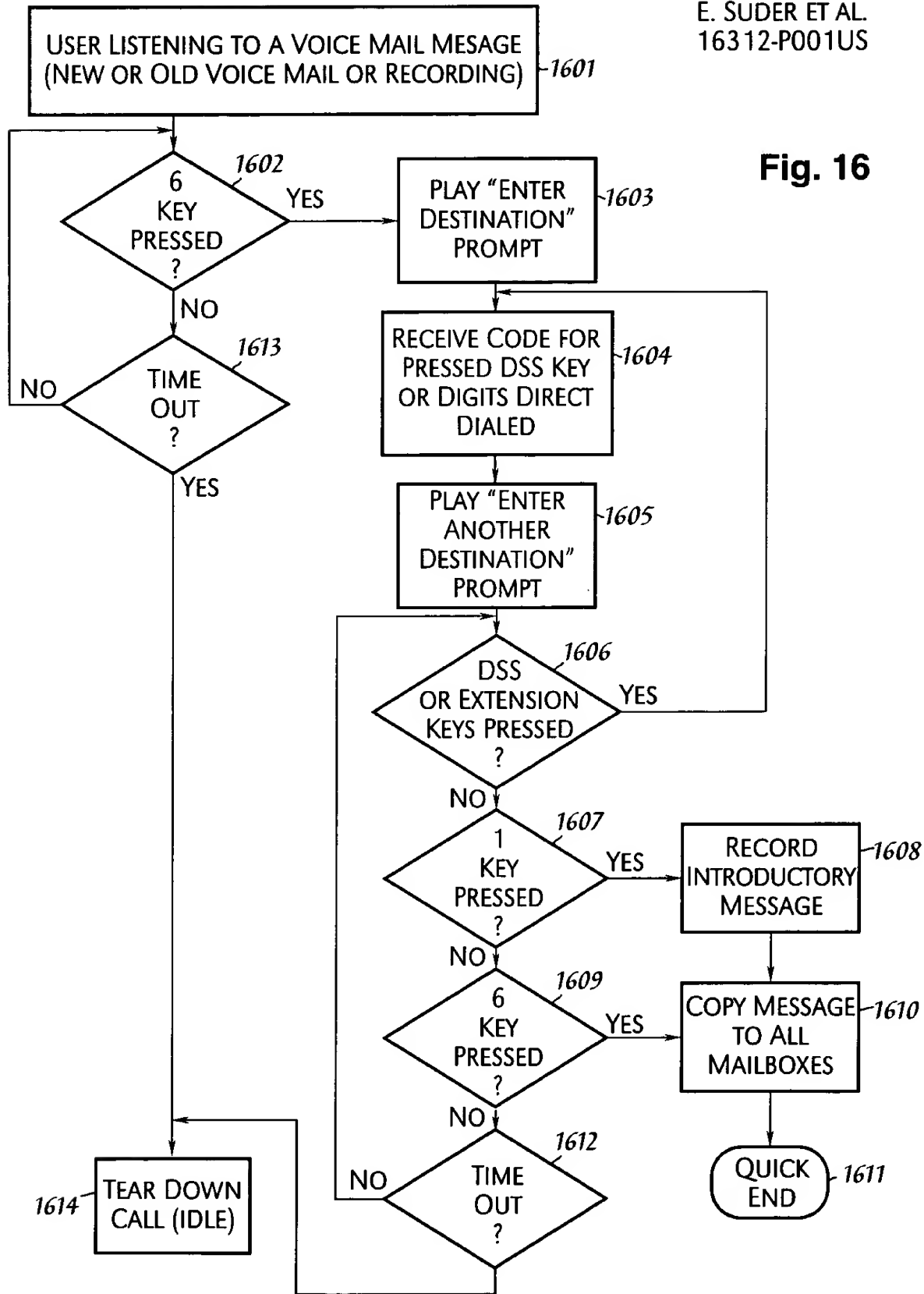


Fig. 15

Fig. 16



1601 1602 1603 1604 1605 1606 1607 1608 1609 1610 1611 1612 1613 1614

